

남조류 분해세균 HY0210-AK1의 분리와 특성 및 *Anabaena cylindrica* 분해 활성

장 은 희¹ · 김 정 동 · 한 명 수*

한양대학교 생명과학과, ¹한양대학교 환경대학원

Isolation and Characterization of Alga-Lytic Bacterium HY0210-AK1 and Its Degradability of *Anabaena cylindrica*

Eun-Heui Jang¹, Jeong-Dong Kim and Myung-Soo Han*

Department of Life Science and ¹Graduate School of Environmental Science,
Hanyang University, Seoul 133-791, Korea

Abstract - To isolate alga-lytic bacteria, a number of samples were collected from Lake of Sukchon and Pal'tang reservoir where cyanobacteria blooming occurred. HY0210-AK1, which exhibited high alga-lytic activity, was isolated using *Anabaena cylindrica* lawn. The morphological and biochemical characteristics of the isolate HY0210-AK1 were very similar to that of the genus *Rhizobium*. Taxonomic identification including 16S rDNA base sequencing and phylogenetic analysis indicated that the isolate HY0210-AK1 had a 99.1% homology in its 16S rDNA base sequence with *Sphingobium herbicidovorans*. *A. cylindrica* NIES-19 was susceptible to the alga-lytic bacterial attack. The growth-inhibiting effect of the bacterium was not different on *A. cylindrica* NIES-19 when *Sphingobium herbicidovorans* HY0210-AK1 was in the lag, exponential, and stationary growth phase, although the alga-lytic effect of *S. herbicidovorans* HY0210-AK1 that in stationary growth phase was somewhat pronounced at the first time of inoculation. When *S. herbicidovorans* HY0210-AK1 was inoculated with 1×10^8 CFU ml⁻¹ together with *A. cylindrica* NIES-19, the bacterium proliferated and caused algal lysis. *A. cylindrica* NIES-19 died when *S. herbicidovorans* HY0210-AK1 was added to the algal culture but not when only the filtrates from the bacterial culture was added. This suggests that extracellular substances are not responsible for inhibition of *A. cylindrica* NIES-19 and that algal lysis largely attributed to direct interaction between *S. herbicidovorans* HY0210-AK1 and *A. cylindrica* NIES-19. The alga-lytic bacterium HY0210-AK1 caused cell lysis and death of three strain of *Microcystis aeruginosa*, but revealed no alga-lytic effects on the *Stephanodiscus hantzschii*.

Key words : alga-lytic bacterium, *Sphingobium herbicidovorans*, *Anabaena cylindrica*

* Corresponding author: Myung-Soo Han, Tel. 02-2290-0956,
Fax. 02-2296-1741, E-mail. hanms@hanyang.ac.kr

서 론

산업의 급속한 발달로 공장폐수의 증가와 인구의 도시 집중화로 인한 생활폐수의 증가는 질소, 인 및 탄소 등을 함유한 오염물질이 하천, 호수, 저수지 등으로 유입되어 수계에 부영양화 현상을 급속히 진행시킴으로써 남조류의 대발생을 야기한다. 특히 *Anabaena* spp.와 같은 남조류의 대발생은 여름철에 호수나 저수지 등에서 전세계적으로 만연하고 있으며, 이러한 남조류의 대발생은 많은 문제들을 초래한다. 남조류는 독소물질과 이취미 등을 생성하며 (Carmaichael et al. 1994; Harada 1996) 식물풀랑크톤, 동물풀랑크톤, 원생동물 (Reinikainen 1995) 및 어류를 포함한 야생동물이나 가축에게 직접적인 피해를 일으키고 (Penaloza et al. 1990; Shirai 1991), 정수장에서 응집침전과 여과장에 등을 초래하여 정수비용을 증가시키며, 또한 불쾌한 냄새를 유발하여 레크레이션 장소로서 수변의 가치를 저하시키는 등 경제적 손실을 야기시키고 있다 (Watanabe et al. 1989). 따라서, 남조류의 생장조절은 수자원확보 및 보전과 공중보건 측면에서 매우 중요하므로, 하천이나 호수 및 저수지 등에서 남조류의 대발생을 제어하기 위하여 여러 가지 방법들이 시도되었다. 호수나 저수지에 유입되는 염양염류를 조절함으로써 남조류의 성장에 필요한 염양염류를 제어하려는 시도는 불가능하였고, 황산동 (copper sulfate) 등 화학물질을 이용하여 남조류를 제거하려는 시도는 2차적인 환경오염을 유발하였다 (McGuire et al. 1984; Reyssac and Pletikosic 1990). 이러한 문제점을 보완하기 위하여 남조류 생장억제 미생물을 이용한 생물학적 접근 방법들이 생태계의 변화를 최소화 할 수 있으므로, 남조류 생장을 억제하거나 분해하는 세균에 대한 관심이 집중되고 있다. 특히 *Anabaena* spp.는 질소 고정을 함으로써 미생물에 에너지원과 질소를 제공한다 (Fay 1992; Khan et al. 1994). 따라서, 남조류 세포 주변에는 다양한 미생물이 분포하며, 기생하거나 공생하는 미생물 중에는 남조류의 세포 생장을 억제하거나 분해하는 미생물이 존재하는 것으로 알려져 있다 (Reyssac and Pletikosic 1990; Kim et al. 1997).

본 연구에서는 수화 다발 지역인 석촌호수와 팔당호 등에서 시료를 채취하여 남조류 대발생의 원인인 *Anabaena cylindrica*의 억제에 활용할 수 있는 남조류 분해 미생물을 분리, 동정하고, 남조류 분해 특성을 조사하였다.

재료 및 방법

1. 시료의 채취

2002년 6월에서 2002년 10월까지 남조류 대발생이 빈번이 발생하는 석촌호수와 팔당호에서 저너(sediment)와 저층시료 및 표층수를 채취하여 멀균된 250 ml 병에 담아, 4°C icebox에 보관하여 실험실로 운반한 후, 남조류 분해 미생물을 분리에 이용하였다.

2. 남조류의 배양 조건

본 연구에서 남조류 분해세균의 분리 및 분해 특성 조사를 위한 공시조류로는 일본환경연구소 (National Institute for Environmental Studies, Japan)에서 제공한 *Anabaena cylindrica* NIES-19를 사용하였다. *Anabaena cylindrica* NIES-19의 경우 질소 공급원이 없는 배지에서 생장하는 것으로 알려져 있어 (Cattenholz 1988), NaNO₃가 첨가되지 않은 MDM 배지 (KNO₃, 10 g; MgSO₄ · 7H₂O, 2.5 g; K₂HPO₄, 2.5 g; NaCl, 1.0 g; A5 Solution, 1 ml; Fe Solution 1 ml; per 1 l)를 사용하였다. A5 solution은 H₃BO₃, 0.286 g; MnSO₄ · 7H₂O, 0.25 g; ZnSO₄ · 7H₂O, 0.0222 g; CuSO₄ · 5H₂O, 0.0079 g; Na₂MoO₄ · 2H₂O, 0.0021 g을 100 ml 증류수에 용해하여 첨가하였으며, Fe solution으로는 FeSO₄ · 7H₂O, 0.2 g과 H₂SO₄, 0.026 ml를 100 ml 증류수에 용해하여 첨가하였다. 남조류 배양 조건은 26°C, 150 rpm의 조건에서 진탕 배양하였다.

3. 남조류 분해세균의 분리

남조류 분해 세균을 분리하기 위하여 *Anabaena cylindrica* NIES-19를 속주로 하는 over-layer agar method (Sakata et al. 1991)를 이용하여 MDM 평판배지 위에 *Anabaena cylindrica*로 lawn을 준비하였다. 대수성장기의 *Anabaena cylindrica*를 4°C, 500 rpm 조건에서 30분간 원심 분리하여 얻은 세포를 최종농도 0.6~0.7%의 agar가 함유된 평판배지에 top-agar layer를 만들어, 조류배양기에서 1~2일간 배양 후, 석촌호수와 팔당호에서 채취한 시료를 100 µl씩 도말하여 26°C, 30 µ Es⁻¹ m⁻², 12D : 12L 조건으로 11일간 배양 후, *Anabaena cylindrica* lawn에 halo zone를 형성하는 세균 colony를 선별하여, Nutrient agar (Difco; beef extract, 3.0 g; peptone, 5.0 g; agar, 15 g; distilled water 1,000 ml)에서 순수배양하였다.

4. HY0210-AK1의 동정

분리한 균주 HY0210-AK1, 생리 생화학적 특성조사를 위하여, Gram 염색, 최적성장 온도 및 pH, oxidases 반응, motility, hemolysis 등 주요 특성은 Bergey's Manual of Systemic Bacteriology (1984)에 따라서 확인하였다. HY0210-AK1 genomic DNA preparation은 Murray and Thompson (1980)의 방법에 따라서 수행하였고, 16S rDNA를 증폭하기 위한 primer는 Weisburg *et al.* (1991)한 primer를 변형하여 사용하였으며, forward primer는 5'-GAGTTGGATCCTGGCTCAG-3', reverse primer는 5'-AAGGAGGGATCCAGCC-3'이다. 16S rDNA 염기서열을 결정하기 위하여 cloned fragment는 automated DNA sequencer (Bionex, Seoul, Korea)에 의해서 결정하였다. 염기서열분석을 통하여 얻어진 HY0210-AK1의 염기서열은 CLUSTAL W software (Thompson *et al.* 1994)로 분석하였고, 계통수는 (phylogenetic tree)는 PHYLIP version 3.5 package (Felsenstein 1993)에서 neighbor-joining method (Saitou and Nei 1987)를 이용하여 작성하였다. 계통형 사이의 염기서열의 유사도는 DNADIST 매트릭스 (Juke and Cantor 1969)를 이용하였다.

5. HY0210-AK1의 남조류 분해 활성 측정

250 ml Erlenmeyer flask 3개에 각각 *Anabaena cylindrica* NIES-19를 45 ml씩 분주해 넣고, 26°C, 30 μ Es⁻¹ m⁻², 12D : 12L 조건으로 7일 동안 배양 후, 대수성장기의 HY0210-AK1를 5 ml 접종하였고, 나머지 1개의 flask는 멸균한 Nutrient broth를 5 ml 접종하여 대조구로서 사용하였다. 접종 후, 11일 동안 24시간 간격으로 동일한 시간에 각각의 처리구에서 2 ml를 취하여, 25 mm diameter GF/F filter (Whatman, England)을 이용하여 여과한 후 90% acetone 20 ml에 처리하여 암병에 넣은 후 4°C에 24시간 방치 후 chlorophyll a를 추출하였다. 추출된 chlroophyll a는 750, 644, 647, 630 nm에서 spectrophotometer (Hewlett Packerd, Hp845 \times UV-Visible Sytem, USA)를 이용하여 흡광도를 측정하였으며, 광도의 단위 변환의 계산식은 다음과 같다 (Parsons *et al.* 1984).

$$\text{Chlorophyll a의 값} (\mu\text{g l}^{-1}) = \text{Ca} \times (\text{Vb}/\text{Va})$$

Ca: Enumerated wavelength value

Vb: Filtering한 시수의 양 (l)

Va: 추출에 사용한 90% acetone의 양 (ml)

6. HY0210-AK1의 개체수 변화 조사

HY0210-AK1과 *Anabaena cylindrica* NIES-19의 혼합배양 후 세균의 변화를 측정하기 위하여 HY0210-AK1을 접종한 날로부터 11일 동안 24시간 간격으로 혼합 배양한 배지에서 1 ml를 취하여 9 ml의 0.85% 멸균식염수와 잘 섞은 후 10진 회석법으로 회석하여 Nutrient agar 배지에 도말하였다. 30°C에서 24시간 배양 후에 colony 수를 계수하여 HY0210-AK1 개체수의 변화를 측정하였다.

7. HY0210-AK1의 성장 단계와 분해 활성

HY0210-AK1의 성장 단계에 따른 *Anabaena cylindrica* NIES-19에 대한 살조 활성을 조사하기 위하여 대수성장기의 *A. cylindrica* NIES-19 45 ml를 100 ml Erlenmeyer flask에 분주하여, 성장 지체기 (배양 30분 후), 대수 증식기 (배양 6시간)와 정체기 (배양 24시간 후)의 HY0210-AK1을 각각 5 ml씩 접종하였고, 대조구로는 멸균한 Nutrient broth를 5 ml를 접종하였다. 접종한 flask는 후 조류배양기에서 26°C, 30 μ Es⁻¹ m⁻², 12D : 12L 조건에서 배양하여, 11일 동안 24시간 간격으로 chlorophyll a의 변화를 측정하였다.

8. HY0210-AK1의 접종 농도와 분해 활성

대수성장기의 *A. cylindrica* NIES-19를 100 ml Erlenmeyer Flask에 45 ml씩 분주한 후, 분리세균 HY0210-AK1를 1×10^6 , 1×10^7 , 1×10^8 CFU ml⁻¹를 각각 5 ml를 접종한 후 조류 배양 조건에서 11일간 배양 하면서 24시간 간격으로 chlorophyll a의 변화를 측정하였다.

9. HY0210-AK1 세포 외 물질의 *Anabaena cylindrica* NIES-19 증식 저해

Nutrient broth 배지에서 HY0210-AK1를 24시간 배양한 후에 4°C에서 12,000 rpm 조건으로 15분 원심분리한 후 상동액을 취하여 YM-10 membrane filter (Millipore, exclusion size 1 kDa M.W. cut off)로 여과하여 사용하였다. 여과한 상동액을 10%, 50%, 90%를 대수성장기의 *A. cylindrica* NIES-19에 접종하였으며 증식저해 효과를 조사하였다. 대조구로는 여과한 배양액을 고압 멸균한 후, 각각 10%, 50%, 90%를 대수성장기의 *A. cylindrica* NIES-19접종하여 사용하였다.

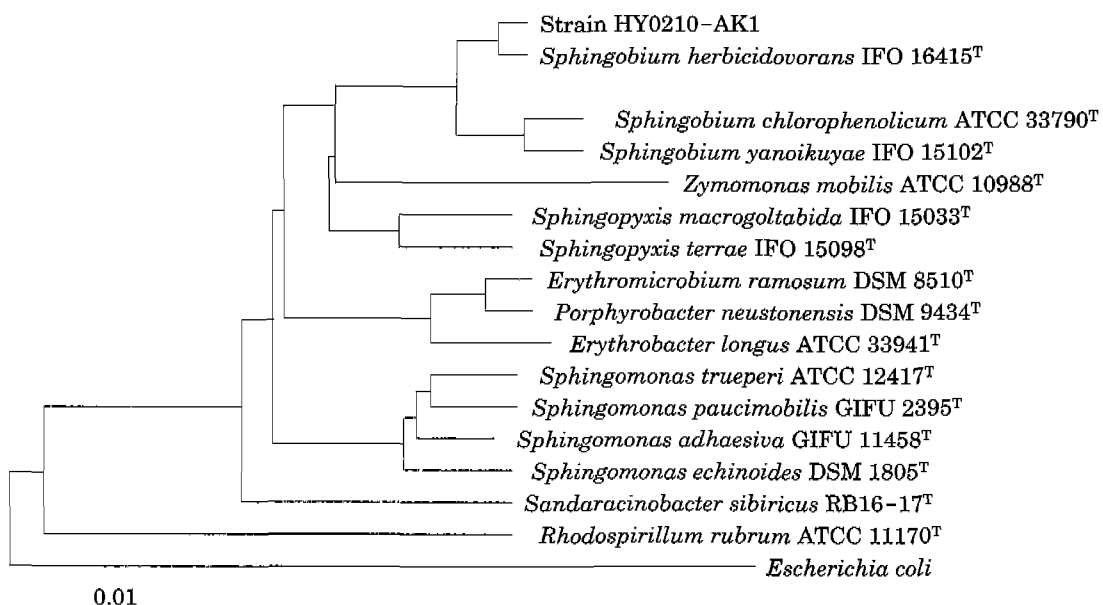


Fig. 1. Phylogenetic tree based on 16S rDNA sequences showing the positions of strain HY0210-AK1, the type strains of *Sphingobium* species and the representatives of some other related taxa. Scale bar represents 0.01 substitutions per nucleotide position.

10. HY0210-AK1의 살조 범위 조사

HY0210-AK1의 남조류 *Microcystis aeruginosa* NIES-44, *M. aeruginosa* NIES-88, *M. aeruginosa* NIES-298와 규조류 *Stephanodiscus hantzschii* UTCC-276, *S. hantzschii* CCAP 1079/4에 대한 중식저해 효과를 조사하였다. 각각의 조류가 대수성장기 일때, Nutrient broth에서 24시간 배양한 HY0210-AK1를 1×10^8 CFU ml⁻¹로 접종한 후 조류의 중식 저해효과를 조사하였다.

결과 및 고찰

1. 남조류 분해 세균의 분리

남조류의 대발생하는 석총호수 및 팔당호에서 채취한 저니, 저층시료 및 표층수를 *Anabaena cylindrica* NIES-19 lawn에 접종하여 11일간 배양한 결과 석총호수에서 36개의 colony, 팔당호에서 64개의 colony가 분리되었으며, 그 중에서 남조류 저해 활성을 나타내는 20개의 colony를 선별하였고, *Anabaena cylindrica* NIES-19와 엑체 혼합배양에서 가장 우수한 활성을 나타내는 HY0210-AK1를 선발하여 사용하였다(data not shown).

2. HY0210-AK1의 형태 및 생화학적 특징과 동정

HY0210-AK의 형태적, 생화학적 특성은 Table 1에서 나타나 있으며, 그람 음성균이고, 30°C, pH 6 정도에서 최적의 생장을 보였으며, Kohn's gelatin과 tryptophane test에서는 양성반응을 보였다. 이상의 형태적 및 생화학적 결과에 의해서 HY0210-AK1은 *Rhizobium*속 및 관련 속(allied genera)에 속하는 것으로 판단되었다. 분리 군주의 정확한 동정을 위하여 16S rDNA의 염기서열 분석과 CRUSTAL W program 및 PHYLIP program을 이용하여 HY0210-AK1의 분자 계통분석 결과를 Fig. 2에 보여주고 있다. HY0210-AK1은 *Sphingobium yanoikuyae* IFO 15102^T, *Zymomonas mobilis* ATCC 10988^T, *Sphingobium herbicidovorans* IFO 16415^T와 높은 유연관계를 보여주었으며, 특히 *Sphingobium herbicidovorans* IFO 16415^T와 99.1%의 가장 높은 연관성을 나타내어(Table 2), HY0210-AK1을 *Sphingobium herbicidovorans* HY0210-AK1으로 명하였다.

Sphingobium herbicidovorans HY0210-AK1는 짧은 lag phase(lag growth phase)가 매우 짧고, 대수성장기(exponential growth phase)에서 정체기(stationary growth phase)로 매우 빠르게 전환하는 양상을 나타내었다.

Table 1. Morphological and biochemical characteristic of isolate HY0210-AK1

Characteristics	HY0210-AK1
Cell shape	Short rod
Gram staining	-
Optimal temperature	30°C
Optimal pH	6
Pigment	Orange
Arginine	-
Oxidase	-
Motility	-
ONPG or IPTG	+
Lysine	-
Ornithine	-
Sodium citrate	-
Urea	-
Tryptophane	+
Creatine sodium pyruvate	-
Kohn's gelatin	+
Glucose	-
Mannitol	-
Inositol	-
Sorbitol	-
Rhamnose	-
Sucrose	-
Melibiose	-
Amygdain	-
Arabinose	-
Potassium nitrate	Reduction to N ₂ gas

3. *Sphingobium herbicidovorans* HY0210-AK1의 남조류 분해 활성

Sphingobium herbicidovorans HY0210-AK1의 *Anabaena cylindrica* NIES-19 분해정도를 알아보기 위해 *Sphingobium herbicidovorans* HY0210-AK1의 1×10^8

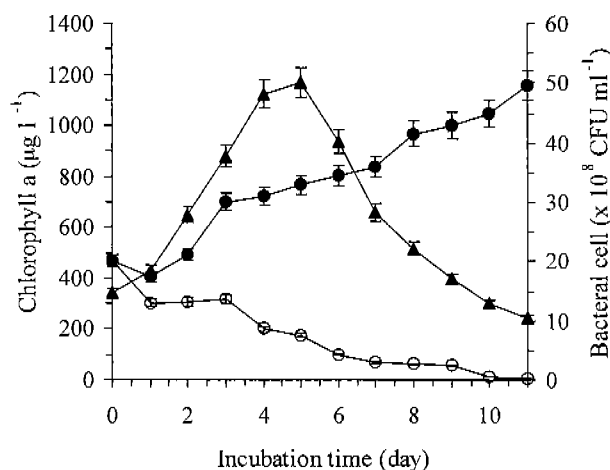


Fig. 2. Growth inhibition of *A. cylindrica* by *Sphingobium herbicidovorans* HY0210-AK1 and growth curves of *Sphingobium herbicidovorans* HY0210-AK1 in mixed-culture. Symbols are (●), growth of *A. cylindrica* treated with Nutrient broth; (○), growth of *A. cylindrica* treated with *Sphingobium herbicidovorans* HY0210-AK1; (▲), bacterial cells of *Sphingobium herbicidovorans* HY0210-AK1.

CFU ml⁻¹를 대수성장기의 *Anabaena cylindrica* NIES-19에 접종한 후 혼합배양한 처리구와 HY-0210-AK1을 접종하지 않은 대조구의 chlorophyll a 값을 비교한 결과 혼합배양한 처리구에서는 접종 후 3일째에 chlorophyll a 값이 45%로 감소하였으며, 접종 후 9일째는 chlorophyll a 값이 5.8%로 감소하였으며 접종 후 11일째는 *A. cylindrica* NIES-19의 vegetative cell이 완전히 소멸함을 관찰할 수 있었다(Fig. 2). *Sphingobium herbicidovorans* HY0210-AK1의 개체수는 접종 후 5일째는 5×10^8

Table 2. Levels of 16S rDNA similarity for strain KEH 1-1, the type strains of *Sphingobium* species and the representatives of some other related taxa

Strain	% in Similarity:												
	1	2	3	4	5	6	7	8	9	10	11	12	13
1. Strain HY0210-AK1													
2. <i>Sphingobium herbicidovorans</i> IFO 16415 ^T	99.1												
3. <i>Sphingobium yanoikuyae</i> IFO 15102 ^T	97.7	97.3											
4. <i>Zymomonas mobilis</i> ATCC 10988 ^T	98.1	97.4	98.9										
5. <i>Sphingopyxis macrogoltabida</i> IFO 15033 ^T	96.3	96.2	97.2	97.0									
6. <i>Erythromicrobium ramosum</i> DSM 8510 ^T	96.4	96.1	95.7	95.9	95.5								
7. <i>Porphyrobacter neustonensis</i> DSM 9434 ^T	96.3	96.5	96.2	96.2	95.4	95.7							
8. <i>Erythrobacter longus</i> ATCC 33941 ^T	92.3	91.4	92.1	92.1	92.1	92.9	92.4						
9. <i>Sphingomonas paucimobilis</i> GIFU 2395 ^T	93.2	92.8	92.6	92.8	93.4	93.8	93.3	95.9					
10. <i>Sphingomonas adhaesiva</i> GIFU 11458 ^T	90.4	90.3	90.6	90.5	90.6	91.6	91.3	91.1	90.9				
11. <i>Sandaracinobacter sibiricus</i> RB16-17 ^T	93.2	93.2	93.2	93.1	93.9	94.8	93.9	93.0	93.3	92.3			
12. <i>Rhodospirillum rubrum</i> ATCC 11170 ^T	93.9	93.4	93.6	93.9	92.9	93.1	93.7	91.7	91.2	90.2	93.3		
13. <i>Escherichia coli</i>	93.6	93.2	93.0	93.4	93.5	93.3	93.3	91.8	91.6	90.5	93.0	98.2	

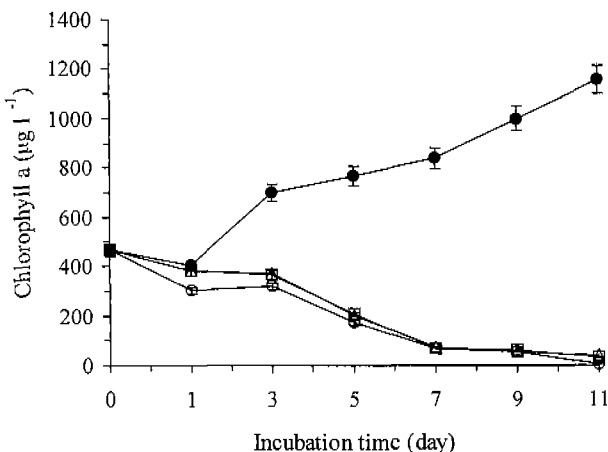


Fig. 3. Time course of the growth of *A. cylindrica* cultivated with *Sphingobium herbicidovorans* HY0210-AK1 at the different culture phases in MDM medium. Symbols are (●), growth of *A. cylindrica* treated with Nutrient broth; (□), growth of *A. cylindrica* treated with *Sphingobium herbicidovorans* HY0210-AK1 at lag growth phase; (△), *Sphingobium herbicidovorans* HY0210-AK1 at exponential growth phase; and (○), *Sphingobium herbicidovorans* HY0210-AK1 at stationary growth phase.

CFU ml⁻¹ 계속 증가하였으며 이후에 감소하여 1접종 후 11일째는 1×10^8 CFU ml⁻¹로 감소함을 볼 수 있었다. 따라서 살조 세균의 농도가 1×10^8 CFU ml⁻¹ 이상으로 유지된다면 살조 효과는 지속되는 것으로 사료된다.

4. *Sphingobium herbicidovorans* HY0210-AK1 성장단계와 분해 활성

대수성장기의 *A. cylindrica* NIES-19에 생장잠복기(30분 배양), 대수성장기(6시간 배양)와 정체기(24시간 배양)의 *Sphingobium herbicidovorans* HY0210-AK1를 접종하여 혼합배양 한 결과 잠복기, 대수성장기 및 정체기에 접종 한 처리구에서 모두 유사한 살조 경향을 나타내었다 (Fig. 3). 접종 후 1일째는 HY0210-AK1를 잠복기나 대수 성장기에 접종하여 혼합 배양하였을 경우, chlorophyll a 값이 각각 3%, 5.7% 감소하였고, 정체기에 접종한 처리구에서는 chlorophyll a 값이 25%가 감소하였으나, 접종 7일 이후부터는 큰 차이를 확인할 수 없었다. 따라서 접종 초기에는 정체기의 *Sphingobium herbicidovorans* HY0210-AK1를 접종하는 것이 살조 효과가 뛰어남을 알 수 있었다. Manage et al. (2000)은 살조 세균 *Alcaligenes denitrificans*를 *Microcystis* spp.에 접종하였을 경우 *Microcystis viridis*와 *M. wesenbergii* 살조

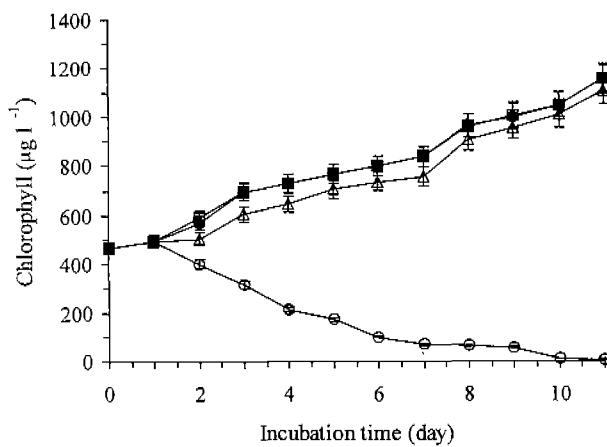


Fig. 4. Growth inhibition of *Anabaena cylindrica* NIES-19 with treatment of various concentrations of *Sphingobium herbicidovorans* HY0210-AK1. Symbols are (●) growth of *A. cylindrica* inoculated with Nutrient broth as control; (□), 1×10^6 CFU ml⁻¹; (△), 1×10^7 CFU ml⁻¹; and (○), 1×10^8 CFU ml⁻¹ of *Sphingobium herbicidovorans* HY0210-AK1.

세균의 처리시기와 관계없이 유사한 살조 효과를 보였으나, *M. aeruginosa*는 잠복기에 있는 *A. denitrificans*를 접종하였을 때는 살조 효과가 없었으며 대수성장기와 정체기에 접어든 살조 세균을 처리 하였을 경우에는 살조 효과가 나타났다고 보고하였다. 따라서 살조 효과는 살조 세균의 성장시기와 남조류간에 종 특이적 현상이 관여하는 것으로 사료된다.

5. *Sphingobium herbicidovorans* HY0210-AK1 접종 농도와 분해 활성

Sphingobium herbicidovorans HY0210-AK1의 접종 농도에 대한 남조류의 분해정도를 알아보기 위해 정체기의 *Sphingobium herbicidovorans* HY0210-AK1를 24시간 배양 후 심진 희석법을 이용하여, 1×10^6 , 1×10^7 , 1×10^8 CFU ml⁻¹를 각각 대수성장기의 *A. cylindrica* NIES-19에 접종하여 혼합 배양한 후 chlorophyll a 값을 비교, 조사한 결과는 Fig. 4와 같이 나타났다. 1×10^8 CFU ml⁻¹를 접종 후 혼합배양한 처리구를 제외하고는 모두 대조구와 같은 성장을 보였으며, 남조류의 분해를 확인할 수 없었다. 따라서 *Sphingobium herbicidovorans* HY0210-AK1는 1×10^8 CFU ml⁻¹ 이상의 농도로 처리하였을 때 살조 효과가 나타나는 것으로 여겨진다. *Alcaligenes denitrificans*는 1×10^3 CFU ml⁻¹를 접종 시에도 살조 효과를 나타난다고 보고하였으나 (Manage et

al. 2000), 1×10^3 CFU ml⁻¹를 처리시는 *A. denitrificans* 가 1×10^8 CFU ml⁻¹까지 성장해야만 비로서 살조 효과를 나타내었다. 따라서 *Sphingobium herbicidovorans* HY0210-AK1는 비교적 살조 효과가 우수한 살조세균으로 여겨진다.

6. *Sphingobium herbicidovorans* HY0210-AK1의 세포 외 물질과 *Anabaena cylindrica* NIES-19 증식 저해

Sphingobium herbicidovorans HY0210-AK1와 *Anabaena cylindrica* NIES-19를 혼합 배양한 상등액을 membrane filter로 여과한 후 10%와 50%를 대수성장기의 *A. cylindrica* NIES-19에 접종하였으며 증식저해 효과를 조사한 결과 *A. cylindrica*의 생장 저해 효과는 확인 할 수 없었고 90%를 접종하였을 경우에는 남조류의 성장 저해는 관찰할 수 있었으나 저해효과는 미미하였다 (Fig. 5). 지금까지의 연구결과로 볼 때 *Sphingobium herbicidovorans* HY0210-AK1를 남조류와 함께 배양하였을 때는 살조 활성이 나타났으나, 배양여액을 처리하였을 경우에는 살조 효과를 관찰할 수 없었다. 따라서 *Sphingobium herbicidovorans* HY0210-AK1세포는 물질을 분비하여 *A. cylindrica* NIES-19를 분해하는 것이 아니라, 남조류를 직접 공격하여 분해하는 것으로 여겨진다. Daft and Stewart (1971)은 Myxobacteriales는 접종 후 20분 이내에 남조류를 분해하였으며, 어떤 세포 외 물질도 분비하지 않는 것으로 보고하였고, 분해관련 효소는 세균포면에 있다고 제안하였다. Shilo (1970), Baker and Herson (1978), Burnham *et al.* (1984)는 남조류를 직접 공격하는 것이 생태학적 측면에서 살조 세균에게 매우 유리하게 작용하는 것으로 보고하였다.

7. *Sphingobium herbicidovorans* HY0210-AK1의 살조 범위 조사

Sphingobium herbicidovorans HY0210-AK1의 살조 범위를 조사하기 위하여 *Microcystis aeruginosa* NIES-44, *M. aeruginosa* NIES-88, *M. aeruginosa* NIES-289과 *Stephanodiscus hantzschii* UTCC-276, *S. hantzschii* CCAP 1079/4에 대한 살조 효과를 액체 혼합배양과 algal lawn 방법으로 확인하였다. 각각의 조류는 순수 배양한 것을 사용하였으며, 접종 5일 후에 각각의 살조 효과를 조사하였다. 3종의 *Microcystis*는 모두 *Sphingobium herbicidovorans* HY0210-AK1의 공격에 감수성을 나타냈었다. 살조 세균 HY0210-AK1를 *Microcystis*와 혼합 배양하였을 때, *Microcystis*는 서서히 탈색되고, 분

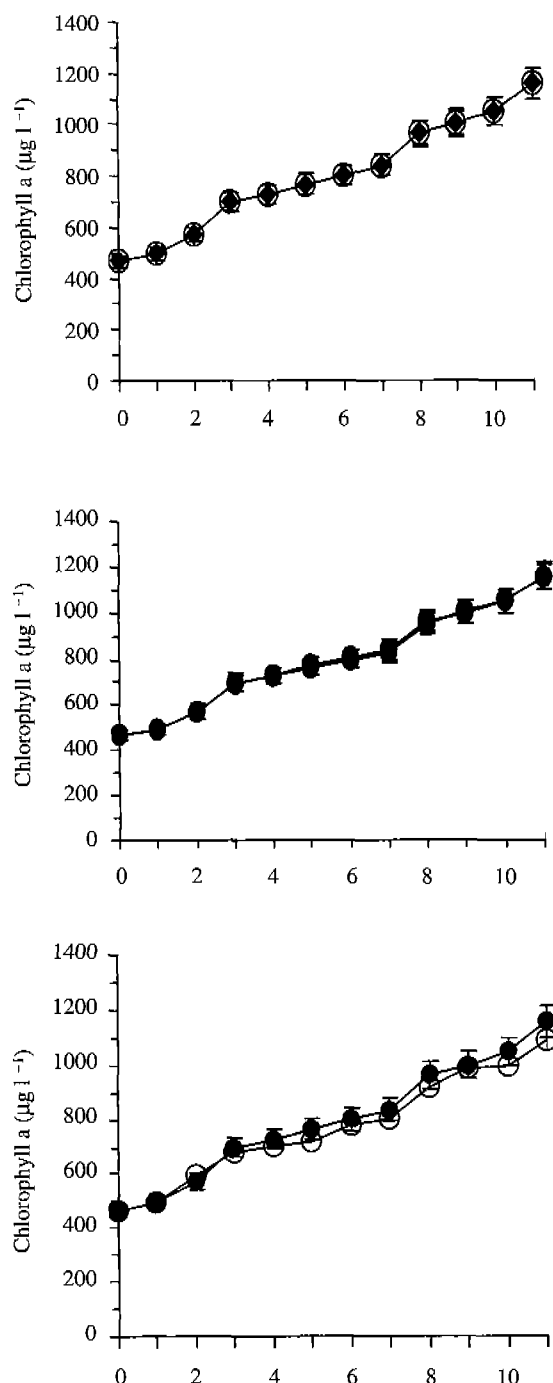


Fig. 5. Alga-lytic activity of filtrate from the culture in which *Anabaena cylindrica* NIES-19 was lysed by *Sphingobium herbicidovorans* HY0210-AK1. Symbols are (●), autoclaved culture filtrate as control; (○), with culture filtrate of *Sphingobium herbicidovorans* HY-0210-AK1.

해되었으며, 현미경 관찰로도 *Microcystis*의 세포가 완전히 소멸한 것을 확인할 수 있었다. 그러나 2종 *Steph-*

Table 3. Host susceptibility of alga-lytic bacterium *Sphingobium herbicidovorans* HY0210-AK1

Species	Susceptibility
<i>Microcystis aeruginosa</i> NIES-44	+
<i>Microcystis aeruginosa</i> NIES-88	+
<i>Microcystis aeruginosa</i> NIES-289	+
<i>Stephanodiscus hantzschii</i> UTCC-276	-
<i>Stephanodiscus hantzschii</i> CCAP 1079/4	-

+, susceptibility; -, non-susceptibility

*anodiscus*와 살조 세균을 혼합배양시, 어떤 변화도 관찰할 수 없었다. 따라서 살조 세균 *Sphingobium herbicidovorans* HY0210-AK1는 *Microcystis aeruginosa*와 *Anabaena cylindrica*를 분해하는 것으로 여겨지며, *Sphingobium herbicidovorans* HY0210-AK1는 남조류에 대해 넓은 살조 범위를 갖는 것으로 여겨진다. 이상과 같이 남조류의 수화 발생 지역에서부터 남조류 분해 활성을 지닌 살조 세균 *Sphingobium herbicidovorans* HY0210-AK1의 분해 특성과 살조 범위를 고려한다면, 현장의 *Microcystis* 대발생을 생물학적으로 제어하는데 활용할 수 있을 것으로 사료된다.

적  요

남조류의 대발생이 자주 발생하는 석촌호수와 팔당호로부터 시료를 채취하여 남조류 분해세균의 분리를 시도하였다. MDM 배지 상에서 *Anabaena cylindrica*를 주로 하는 over-layer method를 이용하여 *Anabaena cylindrica* lawn에서 남조류 분해 세균을 분리하여 HY0210-AK1으로 명명하였다. HY0210-AK1의 형태적, 생화학적 특성은 *Rhizobium* 속과 유사하였으며, 16S rDNA 염기서열을 분석한 결과 *Sphingobium herbicidovorans* IFO 16415^T와 99.1%의 높은 유연관계를 보여 *Sphingobium herbicidovorans* HY0210-AK1로 동정하였다. 잡복기, 대수성장기, 정체기에 있는 *Sphingobium herbicidovorans* HY0210-AK1를 *Anabaena cylindrica* NIES-19와 혼합 배양하였을 때, 접종 초기에는 정체기의 *Sphingobium herbicidovorans* HY0210-AK1를 접종한 처리구에서 가장 좋은 살조 효과를 나타냈으나, 접종 7일 이후에는 커다란 차이를 보이지 않았다. 또한, *Sphingobium herbicidovorans* HY0210-AK1는 1×10^8 CFU ml⁻¹ 이상의 농도로 처리하였을 때, *Anabaena cylindrica* NIES-19가 완전히 분해되었다. *Sphingobium herbicidovorans* HY0210-AK1와 *Anabaena cylindrica*

NIES-19를 혼합 배양한 상등액을 여과하여 접종하였을 때는 남조류 성장 저해 효과가 나타나지 않았다. 따라서 *Sphingobium herbicidovorans* HY0210-AK1는 *Anabaena cylindrica* NIES-19를 직접 공격하여 분해하는 것으로 사료된다. *Sphingobium herbicidovorans* HY0210-AK1는 *Microcystis aeruginosa*도 분해하였다.

사  사

본 연구는 21세기 프론티어 연구개발 사업, 수자원 지속적 확보기술개발 사업 과제(과제번호 5-9-1)에 의하여 수행되었음을 감사 드립니다.

참  고  문  헌

- Baker KH and DS Herson. 1978. Interactions between the diatom *Thallasiosira pseudomonanna* and an associated Pseudomonad in a mariculture system. Appl. Environ. Microbiol. 35:791-796.
- Burnham JC, SA Collart and MJ Daft. 1984. Myxococcal predation of the cyanobacterium *Phormidium luridum* in aqueous environments. Arch Microbiol. 137:220-225.
- Carmichael WW. 1994. The toxins of cyanobacteria. Sci. Am. 270:64-72.
- Castenholz RW. 1988. Culturing methods for cyanobacteria. Methods Enzymol. 167:68-92.
- Daft MJ and WD Stewart. 1971. Bacterial pathogens of freshwater blue-green algae. New Phytol. 70:819-829.
- Fay P. 1992. Oxygen relations of nitrogen fixation in cyanobacteria. Microbiol. Rev. 56:340-373.
- Felsenstein J. 1993. PHYLIP: Phylogenetic Inference Package. Version 3.5. Seattle, University of Washington. DC, USA.
- Harada K-I. 1996. Chemistry and detection of microcystins. pp. 103-148. In Toxic *Microcystis* (Watanabe MF, K-I Harada, WW Carmichael and H Fujiki eds.). CRC Press, London.
- Juke TH and CR Cantor. 1969. Evolution of protein molecules. pp. 21-132. In Mammalian protein metabolism (Munro HN ed.). Academic Press, New York.
- Khan ZUM, ZUT Begum, R Mandal and MZ Hossain. 1994. Cyanobacteria in rice soils. World J. Microbiol. Biotechnol. 10:296-298.
- Kim C-H, Y-K Choi and B-R Min. 1997. Lysis of *Anabaena cylindrica* (cyanobacterium) cell wall by extra-

- cellular enzyme of *Moraxella* sp. CK-1. Kor. J. Environ. Biol. 15:89-97.
- Krige NR and JG Holt. 1984. Bergey's manual of systematic bacteriology (Vol. 1), Williams and Wilkins, Baltimore.
- Manage PM, Z Kawabata and S Nakano. 2000. Algicidal effect of the bacterium *Alcaligenes denitrificans* on *Microcystis* spp. Aquat. Microb. Ecol. 22:111-117.
- McGuire RM, JM Jones, EG Means, G Lzaguirre and AE Reston. 1984. Controlling attached blue-green algae with copper sulfate. Res. Technol. 27:60-65.
- Murray MG and WF Thompson. 1980. Rapid isolation of high molecular-weight plant DNA. Nucleic Acid Res. 8: 4321-4325.
- Parsons RT, Y Matia and CM Lalli. 1984. A manual of chemical and biological methods for seawater analysis. 1st ed. Pergamon Press Ltd. Oxford.
- Penaloza R, M Rojas, I Vila and F Zambrano. 1990. Toxicology of a soluble peptide from *Microcystis* sp. to zooplankton and fish. Fresh water Biol. 24:233-240.
- Reinikainen M, J Kiviranta, V Ulvi and MLN Paavola. 1995. Acute toxic effects of a novel cyanobacterial toxin on the crustaceans *Artemia salina* and *Daphnia pulex*. Arch. Hydrobiol. 133:61-69.
- Reyssac SJ and M Pletikosic. 1990. Cyanobacteria in fishponds. Aquaculture 88:1-20.
- Saitou N and M Nei. 1987. The neighbor-joining method: a new method for reconstructing phylogenetic trees. Mol. Bio. Evol. 4:406-425.
- Sakata T, Y Fujita and H Yasumoto. 1991. Plaque formation by algicidal *Saprositira* sp. on a lawn of *Chaetoceros ceratosporum*. Nippon Suisan Gakkaishi 57:1147-1152.
- Shilo M. 1970. Lysis of blue-green algae by myxobacter. J. Bacteriol. 104:453-461.
- Shirai M, A Otake, T Sano, S Matsumoto, T Sakamoto, A Sato, T Aida, K-I Harada, T Shimada, M Suzuki and M Nakano. 1991. Toxicity and toxins of natural blooms and isolated strains of *Microcystis* spp. (Cyanobacteria) and improved procedure for purification of culture. Appl. Environ. Microbiol. 57:1241-1245.
- Thompson IP, MJ Bailey and BP Rainey. 1994. Phenotypic techniques for identification of unusual aerobic photoautotrophic gram-negative Bacilli. J. Clin. Microbiol. 36:3674-3679.
- Watanabe MM, K Kaya and N Takamura. 1992. Fate of the toxic cyclic heptapeptides, the microcystins from blooms of *Microcystis* (Cyanobacteria) in a hypertrophic lake. J. Phycol. 28:761-767.
- Wiesburg W, SM Barns, DE Pelletier and DJ Lane. 1991. 16S ribosomal DNA amplification for phylogenetic study. J. Bacteriol. 173:697-703.

Manuscript Received: February 26, 2003

Revision Accepted: March 6, 2003

Responsible Editorial Member: Wonchoel Lee
(Hanyang Univ.)